

文章编号: 0253-2239(2001)03-0274-04

激光二极管抽运 Nd: YVO₄/LBO 红光激光器研究

张恒利¹⁾ 竺乃宜¹⁾ 杨乾锁¹⁾ 余西龙¹⁾ 侯 玮²⁾ 许祖彦²⁾ 吴柏昌³⁾

1), 中国科学院力学研究所高温气体动力学开放实验室, 北京 100080

2), 中国科学院物理研究所光物理实验室, 北京 100080

3), 中国科学院福建物质结构研究所 福州 350002

摘要: 报道了激光二极管抽运的 Nd: YVO₄ 晶体-LBO 晶体 II 类非临界相位匹配腔内倍频大功率红光激光器。通过对激光晶体热效应的考虑, 设计了热不灵敏腔, 采用低掺杂浓度 Nd: YVO₄ 晶体, 获得了 671 nm 红光的最高输出为 890 mW。

关键词: 激光二极管; 抽运; 腔内倍频

中图分类号: TN248.1 文献标识码: A

1 引言

全固态大功率红光激光器在医疗、彩色显示等方面具有巨大的应用前景, 也可作为 Cr: LiSAF 类晶体的抽运源。目前红光激光二极管的功率虽有较大提高, 但是相对于固体激光器来说其亮度小、光束质量差、线宽宽。通过光参量和和频过程, Bosenberg 等^[1] 利用周期性超晶格铌酸锂(PPLN)得到 2.5 W 红光激光输出, 但该系统技术复杂, 且周期性超晶格铌酸锂难加工, 厚度小, 成品率低, 目前还难以实用化。

倍频钕离子的 1.3 μm 谱线是得到红光的一种有效途径。Lincoln 等^[2] 利用 LBO 晶体 I 类临界相位匹配在激光二极管抽运 Nd: YLF 激光器中得到 300 mW 的 659 nm 激光(声光调 Q)输出作为 Cr: LiSAF 自锁模飞秒激光器的抽运源。Huo 等^[3] 在激光二极管抽运 Nd: YAP 激光器中, 获得 95 mW 红光输出, 然后抽运 Cr: LiSAF 得到连续近红外输出。Nd: YVO₄ 晶体在 1.3 μm 谱线上具有较大的发射截面和较高的分支比^[4, 5]。王长青等^[6] 用激光二极管抽运 Nd: YVO₄ 激光器, 在吸收抽运功率为 515 mW 时获得 3.6 mW 的 671 nm 激光输出。Conroy 等^[7] 在激光二极管抽运 Nd: YVO₄ 微片激光器时, 利用 LBO 腔内倍频得到 10 mW 稳定的 671 nm 激光输出。在大功率激光二极管抽运下, Agnesi 等^[8] 获得了 430 mW 的 671 nm 激光输出。

我们从 1997 年开始对大功率激光二极管抽运

Nd: YVO₄ 晶体全固态红光激光器进行研究, 并利用 KTP 晶体和 I 类非临界相位匹配的 LBO 晶体腔内倍频, 分别获得超过 270 mW 和 500 mW 的 671 nm 激光输出^[9, 10]。本文报道了在激光二极管抽运 Nd: YVO₄ 晶体, II 类非临界相位匹配 LBO 晶体腔内倍频红光激光器中, 通过对激光晶体热透镜效应的考虑, 设计了热不灵敏腔, 采用低掺杂浓度 Nd: YVO₄ 晶体, 671 nm 红光的最高输出为 890 mW。

2 激光晶体的热透镜效应

在高功率激光二极管端面抽运固体激光器中, 激光晶体的热效应是不能获得高效率、高功率输出的一个重要因素。热的影响主要为热透镜和热致衍射损耗。本文仅考虑热透镜效应的影响, 因为热透镜效应会极大地改变腔内模式, 甚至使得激光器偏离出稳定工作状态。在较大的抽运功率变化范围内, 设计腔内模式对热透镜效应不敏感的谐振腔型, 是获得稳定高功率激光输出的必要条件。

对连续端面抽运的情况, 在激光振荡束腰远小于晶体尺寸的情况下, 可将方块晶体等效成圆柱状。由于激光晶体侧面由钢箔包裹, 并外由通水紫铜夹具散热, 可看作侧面导热且表面温度稳定在某一温度。在这些近似下及在忽略热应力和形变时, 可由稳态热传导方程, 解出激光晶体的温度分布, 进而可求出近似的等效热透镜焦距^[11]:

$$f = \frac{\pi K_e w_p^2}{P_{th} (dn/dT)} \left[\frac{1}{1 - \exp(-\alpha d)} \right],$$

式中 $\alpha = 1/\text{mm}$ 为吸收系数, $l = 5 \text{ mm}$ 为晶体的通光长度, P_{th} 为转化为热的抽运功率, w_p 为抽运光斑尺寸, $K_e = 5.4 \text{ W/mK}$ 为晶体的热导率, $dn/dT = 4.7 \times 10^{-6}/\text{K}$ 为晶体折射率的温度变化系数。由于忽略热应力和形变的影响, 实际的热焦距比上式求得的短一些, 也即热致屈光度 [$D = 1/f$ (单位: $1/\text{m}$)] 要大一些。

从上式可以看出抽运光斑尺寸对热焦距的影响是很大的。图 1 为在其它条件相同, 抽运光斑尺寸不同时, 热致屈光度随热功率的变化关系。从图中可以看出, 同样在 4 W 热功率时, 抽运光斑半径 $w_p = 400 \mu\text{m}$ 时, 热致屈光度仅为 $D = 6$, 而在 $w_p = 250 \mu\text{m}$ 时, $D = 18$ 。所以适当加大抽运光斑尺寸, 可以有效地减小热透镜效应的影响。

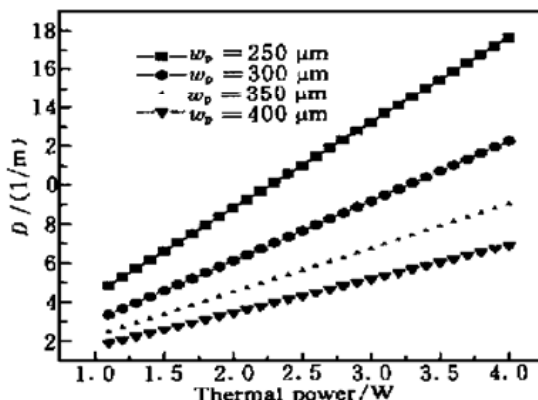


Fig. 1 The thermally induced lens versus thermal power under different pump size

3 激光晶体热透镜效应对折迭腔参数的影响

采用折迭腔可以提高倍频光的转换效率和输出功率。在不考虑像散时, 折迭腔可以展开为多元件直腔来进行分析^[12]。由于在我们的实验中, 激光晶体前表面直接镀膜作为谐振腔的一面端镜, 在一定的抽运功率下, 可根据前面的公式求得其热焦距, 所以可将其等效为一曲率半径为: $R = 2f$ (f 为热透镜焦距) 的凹面镜。以 G 参数等价腔分析法进行分析和数值计算, 可以计算出倍频晶体和激光介质处的光斑半径。图 2 为在不同的腔长和热致屈光度下, 采用 LBO 晶体倍频时, 振荡光束腰在激光晶体和倍频晶体处的束腰变化情况。图中纵坐标 w_1 为激光晶体处束腰, w_2 为倍频晶体处束腰; 横坐标 D 为热致屈光度, L 为倍频晶体所在分臂的腔长。计算时取另一分臂长为 250 mm。从图中可以看出, 在 $L = 162$

mm 处, 激光晶体和倍频晶体处的束腰大小随热致屈光度的增加变化最小。这就为通过选择合适的腔长以得到热不灵敏腔提供了理论依据。

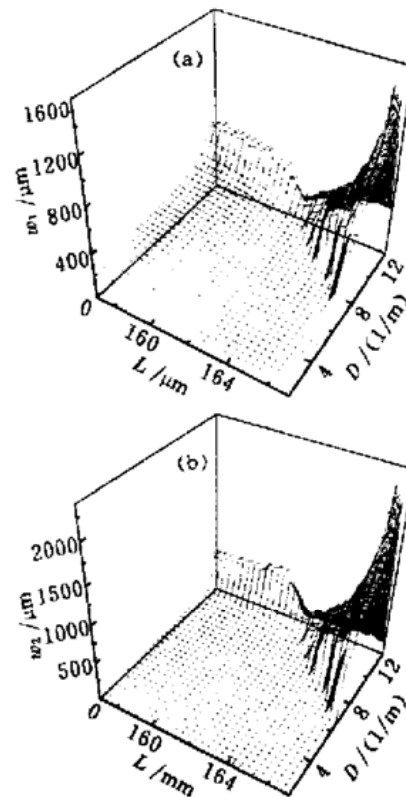


Fig. 2 Waists at laser material (a) and (b) nonlinear crystal are shown as a function of cavity length and thermally induced lens

4 实验装置和结果

实验装置如图 3 所示。抽运源激光二极管的型号为 OPC-B015-809-FCPS, 最大输出功率 15 W; 耦合系统由两个非球面镜组成, 焦距约 30 mm, 物像比约 1.5:1, 可微调, 将光纤输出聚焦耦合到 Nd: YVO₄ 晶体, 耦合效率约 90%; Nd: YVO₄ 晶体钕离子掺杂的原子数分数为 0.5%。采用低掺杂的 Nd: YVO₄ 晶体, 可减小吸收系数, 使得抽运光更均匀地分布在激光晶体上, 有利于大功率抽运。激光介质前表面镀 808 nm 增透膜和对 1342 nm 的全反膜, 作为谐振腔的输入镜, 后表面镀 1342 nm 的增透膜, 以减小腔内损耗; Nd: YVO₄ 晶体侧面用钢箔包起来, 置于紫铜夹具内, 并用循环水冷却以保证比较好的热接触, 在实验中, Nd: YVO₄ 晶体表面温度保持在略低于室温的水平; 耦合输出镜的凹面镀膜, 曲率半径为 100 mm, 对 1064 nm 透过率大于 60%; 用滤波片以滤掉剩余抽运光; 作为输入镜的 Nd: YVO₄ 晶体前端面距离输出镜约 250 mm, 端镜 11 置于一维平移台上, 可沿倍频

光输出方向一维平移, 距离输出镜约 163 mm。

采用 II 类非临界相位匹配的 LBO 晶体腔内倍频, LBO 沿 z 轴切割, 尺寸 $3 \text{ mm} \times 3 \text{ mm} \times 17 \text{ mm}$, 两端亦镀 1342 nm 和 671 nm 双色增透膜。侧面用钢箔

包住置于紫铜夹具内, 由电阻丝加热, 通过控制电阻丝的电压改变加热功率来控制 LBO 晶体的温度, 温度控制精度 0.2°C 。

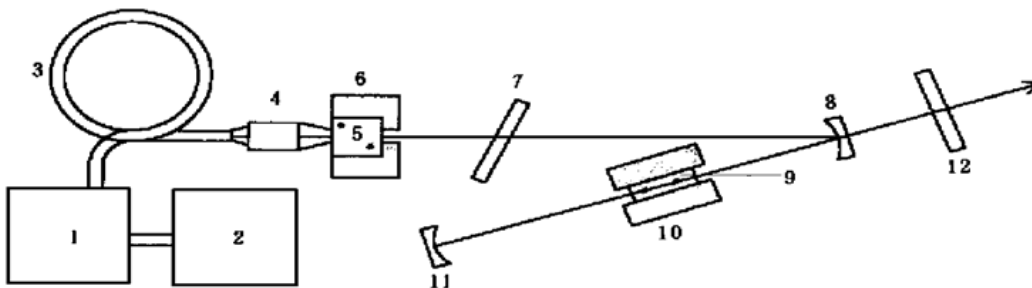


Fig. 3 Schematic of the experimental configuration. 1: laser diode; 2: temperature controller; 3: fiber; 4: coupling system; 5: Nd: YVO₄ and M₁; 6: copper heatsink; 7: Brewster plate; 8: output mirror; 9: LBO crystal; 10: LBO crystal temperature controller; 11: mirror; 12: filter

室温下, 首先在抽运功率较小且不加 LBO 晶体时, 调节好谐振腔, 此时在倍频光的输出方向上漏出一部分基频光。加入 LBO 晶体(置于输出镜与端镜之间的束腰位置)后, 通过仔细调节, 可直接观察到微弱的红光输出。调整晶体温度, 并使之稳定在非临界相位匹配温度, 改变抽运光功率, 得到 II 类非临界相位匹配的 LBO 腔内倍频的 671 nm 激光输入-输出特性曲线, 如图 4。在抽运功率(光纤出口处功率)为 12.6 W 时, 红光输出达到 890 mW , 光-光转换效率 7% 。如果计及耦合系统 90% 的传输效率, Nd: YVO₄ 晶体表面对抽运光 10% 的反射损耗, 则转换效率达到 8.7% 。考虑到输出镜另一方向的几十毫瓦红光输出, 以及耦合输出镜对 671 nm 高达 10% 的反射率, 则产生的红光将达到 1 W 以上, 转换效率将达到 10% 。

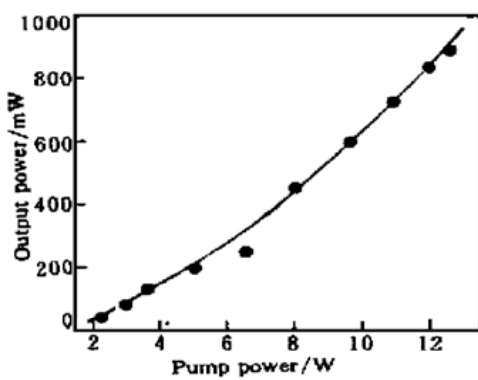


Fig. 4 Output power at 671nm as a function of pump power.
890 mW was obtained at 12.6 W incident power

在 400 mW 输出时, 对红光输出稳定性进行了测量, 10 分钟不稳定性小于 $\pm 2\%$ 。输出为单横模, 四周有杂散光。阈值约 1 W 。

结论 通过对激光晶体热透镜效应的考虑, 设计了

热不灵敏腔; 采用较大的抽运光斑和钕离子掺杂浓度较低的晶体, 最高获得了 890 mW 红光输出。同时, II 类非临界相位匹配 LBO 腔内倍频与 KTP II 类临界相位匹配腔内倍频^[9] 相比, 因为是非临界相位匹配而没有走离角, 所以可以在允许的范围内使用较长的晶体以提高倍频转换效率; 与 LBO I 类非临界相位匹配腔内倍频^[10] 相比较, 其匹配温度较高(约 40°C)而避免 I 类非临界相位匹配下由于低温而结雾的现象, 且倍频的有效非线性系数基本相当, 因此其应用前景最为优越。

本工作是在中科院物理所光物理实验室完成的, 在此对徐瑶副研究员、陈毓川博士等的帮助和讨论表示感谢。

参 考 文 献

- Bosenberg W R, Alexander J I, Myers L E et al.. 2.5 W continuous wave, 629 nm solid state laser source. *Opt. Lett.*, 1998, **23**(3): 207~209
- Lincoln J R, Ferguson A I. All-solid-state intracavity doubled Nd: YLF laser producing 300 mW of 659 nm light. *Opt. Lett.*, 1994, **19**(16): 1213~1215
- Huo Yujing, Shen Dezhong, Li Gansheng et al.. LD pumped red lasers and its application in Cr: LiSAF laser. *Proc. SPIE*, 1996, **2889**: 240~243
- Tucker A W, Birnbaum M, Fincher C L et al.. Stimulated emission cross section at 1064 and 1342 nm in Nd: YVO₄. *J. Appl. Phys.*, 1977, **48**(5): 4907~4911
- Chai B H T. Recent development of high efficiency Nd miniature laser host materials. Becker Joseph F, Tam Andrew C, Gruber John B, Lui Lam, eds. *Novel Laser Sources and Applications*. Washington : SPIE Optical Engineering Press, 1993. 5~18
- 王长青, 沈德元, 卢建仁等. 激光二极管抽运的 $1.3 \mu\text{m}$

- 及其腔内倍频红光 Nd: YVO₄ 激光器. 中国激光, 1997, A24(7): 577~ 580
- [7] Conroy R S, Kemp A J, Friel G J et al.. Microchip Nd: vanadate lasers at 142 and 671 nm. *Opt. Lett.*, 1997, 22 (23): 1781~ 1783
- [8] Agnesi A, Reali G C, Gobbi P G. 430-mW single-transverse-mode diode-pumped Nd: YVO₄ laser at 671 nm. *IEEE J. Quant. Electron.*, 1998, QE-34(7): 1297~ 1300
- [9] He Jingliang, Zhang Hengli, Hou Wei et al.. Generation of CW radiation of 273 mW at 671 nm from a diode-pumped intracavity doubled Nd: YVO₄ laser. *Chin. Phys. Lett.*, 1998, 15(5): 343~ 344
- [10] 张恒利, 何京良, 侯 珂等. 激光二极管抽运 Nd: YVO₄ 晶体 1342 nm 和 671 nm 激光器研究. 物理学报, 1998, 47(9): 1579~ 1584
- [11] Innocenzi M E, Yura H T, Fincher C L et al.. Thermal modeling of continuous-wave end-pumped solid-state lasers. *Appl. Phys. Lett.*, 1990, 56(19): 1831~ 1833
- [12] 吕百达 著. 激光光学, 成都: 四川大学出版社, 第二版, 1992. 292~ 295

Study of an Efficient Nd: YVO₄ Red Light Laser Pumped by Laser Diode

Zhang Hengli¹⁾ Zhu Naiyi¹⁾ Yang Qiansuo¹⁾ Yu Xilong¹⁾
Hou Wei²⁾ Xu Zuyan²⁾ Wu Baichang³⁾

- 1), Laboratory of High Temperature Gas Dynamics, Institute of Mechanics, The Chinese Academy of Sciences, Beijing 100080
 2), Laboratory of Optical Physics, Institute of Physics, The Chinese Academy of Sciences, Beijing 100080
 3), Fujian Institute of Research on the Structure of Matter, The Chinese Academy of Sciences, Fuzhou, 350002

(Received 18 October 1999; revised 13 December 1999)

Abstract A high power LD end-pumped Nd: YVO₄ intracavity frequency-doubled 671 nm laser is demonstrated. A thin lens model is introduced to design a thermally-insensitive cavity. The output power of 890 mW at 671 nm is achieved with a type-II noncritical phase-matched (NCPM) LBO crystal.

Key words: laser diode; pump; intracavity frequency-doubling